

## **СОДЕРЖАНИЕ**

<b>ВВЕДЕНИЕ . . . . .</b>	<b>3</b>
<b>1 Численное дифференцирование . . . . .</b>	<b>4</b>
1.1 Численного дифференцирование функции заданной таблично . . . . .	6
<b>2 Задача Коши для систем обыкновенных дифференциальных уравнений .</b>	<b>15</b>
2.1 Метод Эйлера решения задачи Коши. . . . .	15
2.2 Оценка погрешности решения задачи Коши. . . . .	17
2.3 Численное решение задачи Коши методом Эйлера . . . . .	18
<b>ЗАКЛЮЧЕНИЕ . . . . .</b>	<b>26</b>
<b>СПИСОК ИСПОЛЬЗОВАННЫХ ИСТОЧНИКОВ . . . . .</b>	<b>27</b>

## ВВЕДЕНИЕ

Особенно острая потребность в развитии численных методов появилась в связи с необходимостью решения новых сложных задач, возникающих в ходе развития современной физики и новейших областей техники и технологий. Кроме того, использование численных методов допускает применения простых и вполне осуществимых вычислений.

— Обыкновенными дифференциальными уравнениями можно описать задачи движения системы взаимодействующих материальных точек, химической кинетики, электрических цепей, сопротивления материалов (например, статический прогиб упругого стержня) и многие другие.

Ряд важных задач для уравнений в частных производных также сводится к задачам для обыкновенных дифференциальных уравнений. Например, если многомерная задача допускает разделение пространственных переменных (например, задачи на нахождение собственных колебаний упругих балок и мембран простейшей формы, или определение спектра собственных значений энергии частицы в сферически-симметричном поле), или если ее решение зависит только от некоторой комбинации переменных (автомодельные решения), то задача нахождения решения уравнений в частных производных сводится к задачам на собственные значения для обыкновенных дифференциальных уравнений.

Таким образом, решение обыкновенных дифференциальных уравнений занимает важное место среди прикладных задач физики, химии и техники.

**Цель** данной работы состоит в приобретении практических навыков применения численных методов решения задач Коши для систем обыкновенных дифференциальных уравнений первого порядка.

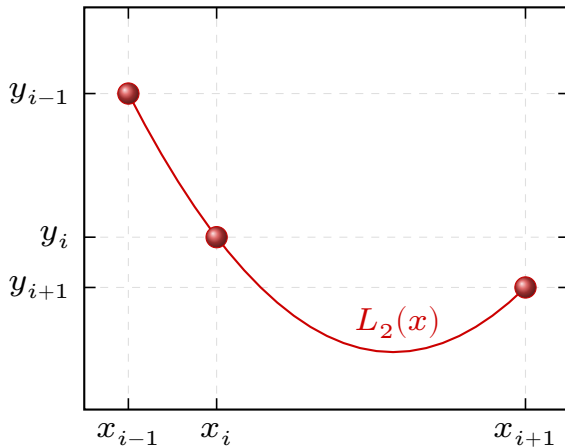
## 1 Численное дифференцирование

Задача численного дифференцирования состоит в приближенном вычислении производных  $y'(x)$  по заданным в конечном числе точек  $\{x_i\}$  значениям этой функции  $\{y_i\}$ .

Численное дифференцирование применяется, если функцию  $y(x)$  трудно или невозможно продифференцировать аналитически, например, если функция является таблично заданной, а также при решении дифференциальных уравнений разностными методами.

Многие формулы численного дифференцирования можно получить, используя интерполяционные формулы. Для этого достаточно заменить функцию  $y(x)$  интерполяционным полиномом Лагранжа  $L_n(x)$  и вычислить производные этого многочлена, используя его явное представление.

Рассмотрим произвольную сетку  $\{x_i\}$  и проведем интерполирование функции  $y(x)$  в узлах сетки  $x_{i-1} < x_i < x_{i+1}$  полиномом Лагранжа второго порядка, приближенно полагая  $y(x) \approx L_2(x)$  для  $x \in [x_{i-1}, x_{i+1}]$ :



$$\begin{aligned} L_2(x) = & \frac{(x - x_i) \cdot (x - x_{i+1})}{(x_{i-1} - x_i) \cdot (x_{i-1} - x_{i+1})} \cdot y_{i-1} + \\ & + \frac{(x - x_{i-1}) \cdot (x - x_{i+1})}{(x_i - x_{i-1}) \cdot (x_i - x_{i+1})} \cdot y_i + \\ & + \frac{(x - x_{i-1}) \cdot (x - x_i)}{(x_{i+1} - x_{i-1}) \cdot (x_{i+1} - x_i)} \cdot y_{i+1} \end{aligned}$$

где  $y_{i-1} = y(x_{i-1})$ ,  $y_i = y(x_i)$ ,  $y_{i+1} = y(x_{i+1})$  – значение функции  $y(x)$  в узлах сетки.

Первая производная многочлена Лагранжа  $L_2(x)$ :

$$\begin{aligned} L'_2(x) &= \frac{2x - x_i - x_{i+1}}{(x_{i-1} - x_i) \cdot (x_{i-1} - x_{i+1})} \cdot y_{i-1} + \\ &+ \frac{2x - x_{i-1} - x_{i+1}}{(x_i - x_{i-1}) \cdot (x_i - x_{i+1})} \cdot y_i + \\ &+ \frac{2x - x_{i-1} - x_i}{(x_{i+1} - x_{i-1}) \cdot (x_{i+1} - x_i)} \cdot y_{i+1} \end{aligned}$$

Это выражение можно принять за приближенное значение первой производной  $y'(x)$  в любой точке отрезка  $[x_{i-1}, x_{i+1}]$ . Например, в точке  $x = x_i$  первая производная от функции  $y(x)$  приближенно равна:

$$\begin{aligned} y'(x_i) \approx L'_2(x_i) &= \frac{x_i - x_{i+1}}{(x_{i-1} - x_i) \cdot (x_{i-1} - x_{i+1})} \cdot y_{i-1} + \\ &+ \frac{(x_i - x_{i-1}) + (x_i - x_{i+1})}{(x_i - x_{i-1}) \cdot (x_i - x_{i+1})} \cdot y_i + \\ &+ \frac{x_i - x_{i-1}}{(x_{i+1} - x_{i-1}) \cdot (x_{i+1} - x_i)} \cdot y_{i+1} \end{aligned}$$

Вторую производную полинома Лагранжа можно принять за приближенное значение второй производной от функции  $y(x)$  в любой точке отрезка  $[x_{i-1}, x_{i+1}]$ :

$$\begin{aligned} y''(x) \approx L''_2(x) &= \frac{2}{(x_{i-1} - x_i) \cdot (x_{i-1} - x_{i+1})} \cdot y_{i-1} + \\ &+ \frac{2}{(x_i - x_{i-1}) \cdot (x_i - x_{i+1})} \cdot y_i + \\ &+ \frac{2}{(x_{i+1} - x_{i-1}) \cdot (x_{i+1} - x_i)} \cdot y_{i+1} \end{aligned}$$

На равномерной сетке  $\{x_i\}$ , расстояние между соседними узлами которой одинаково, выражения для первой и второй производной в точке  $x = x_i$

упрощаются:

$$y'(x_i) \approx \frac{y_{i+1} - y_{i-1}}{2h}, \quad y''(x_i) \approx \frac{y_{i-1} - 2y_i + y_{i+1}}{h^2},$$

где  $h = (x_i - x_{i-1}) = (x_{i+1} - x_i)$  – шаг сетки.

Для приближенного вычисления производных более высоких порядков  $y^{(n)}(x)$  уже недостаточно полинома Лагранжа второго порядка  $L_2(x)$ . Поэтому необходимо использовать полиномы более высокого порядка, что приводит к увеличению числа узлов аппроксимации.

Следует отметить, что порядок погрешности аппроксимации производных от функции  $y(x)$  зависит как от порядка интерполяционного полинома, так и от расположения узлов сетки  $\{x_i\}$ .

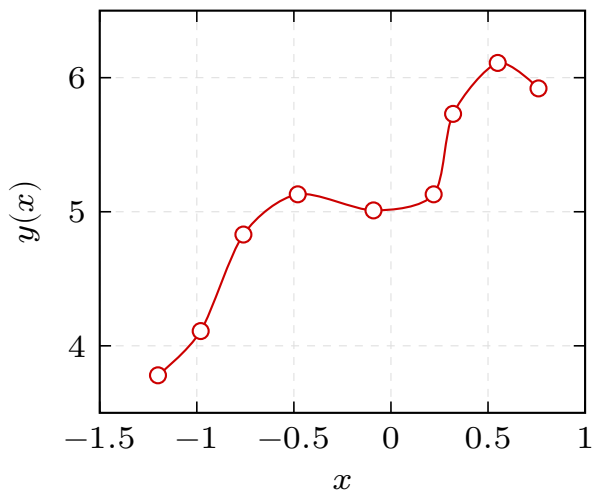
### 1.1 Численное дифференцирование функции заданной таблично

Известно множество данных (узлов сетки)  $\{x_i\}$  в которых определены значения функции  $\{f(x_i)\}$ :

Таблица 1 – Таблично заданная функциональная зависимость  $y_i = f(x_i)$

$i$	0	1	2	3	4	5	6	7	8
$x_i$	-1.2	-0.98	-0.76	-0.48	-0.09	0.22	0.32	0.55	0.76
$y_i$	3.78	4.11	4.83	5.13	5.01	5.13	5.73	6.11	5.92

1) Построим график функции  $y(x)$ , используя данные таблицы 1.

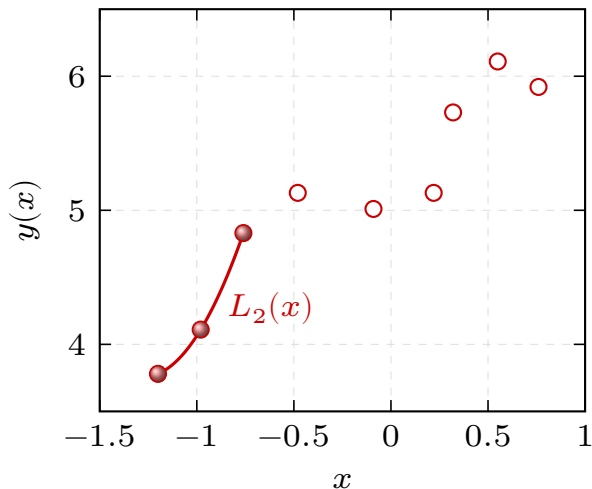


2) Аппроксимируем функцию  $y(x)$  в узлах  $\{x_0, x_1, x_2\}$  полиномом Лагранжа второго порядка  $L_2(x)$ , используя данные таблицы 1:

$$\begin{aligned} L_2(x) &= \frac{(x - (-0.98))(x - (-0.76))}{(-1.20 - (-0.98))(-1.20 - (-0.76))} \cdot 3.78 + \\ &+ \frac{(x - (-1.20))(x - (-0.76))}{(-0.98 - (-1.20))(-0.98 - (-0.76))} \cdot 4.11 + \\ &+ \frac{(x - (-1.20))(x - (-0.98))}{(-0.76 - (-1.20))(-0.76 - (-0.98))} \cdot 4.83 \end{aligned}$$

Проводя элементарные алгебраические преобразования полином Лагранжа в пределах отрезка  $[x_0, x_2]$  имеет вид:

$$L_2(x) = 4.028925620 \cdot x^2 + 10.28305785 \cdot x + 10.31801653$$



Определим первую и вторую производную функции  $y(x)$  в точке  $x_1 = -0.98$ :

$$y'_1 = y'(-0.98) \approx L'_2(-0.98) = 2.386363635$$

$$y''_1 = y''(-0.98) \approx L''_2(-0.98) = 8.057851240$$

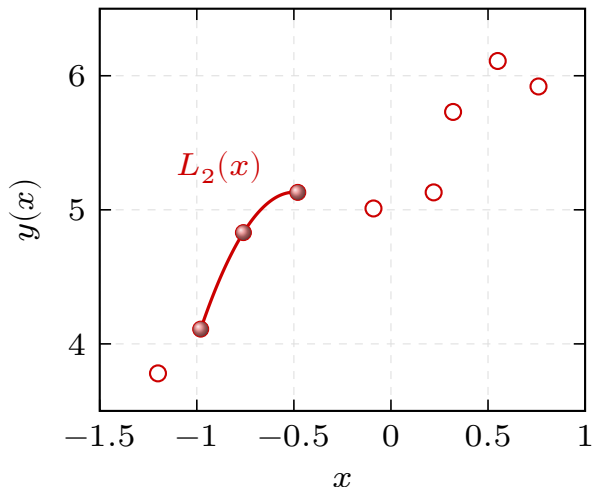
3) Аппроксимация функции  $y(x)$  в узлах  $\{x_1, x_2, x_3\}$  полиномом Лагранжа вто-

рого порядка  $L_2(x)$ , используя данные таблицы 1:

$$\begin{aligned}
 L_2(x) = & \frac{(x - (-0.76))(x - (-0.48))}{(-0.98 - (-0.76))(-0.98 - (-0.48))} \cdot 4.11 + \\
 & + \frac{(x - (-0.98))(x - (-0.48))}{(-0.76 - (-0.98))(-0.76 - (-0.48))} \cdot 4.83 + \\
 & + \frac{(x - (-0.98))(x - (-0.76))}{(-0.48 - (-0.98))(-0.48 - (-0.76))} \cdot 5.13
 \end{aligned}$$

Проводя элементарные алгебраические преобразования полином Лагранжа в пределах отрезка  $[x_1, x_3]$  имеет вид:

$$L_2(x) = -4.402597390 \cdot x^2 - 4.387792189 \cdot x + 4.038218187$$



Определим первую и вторую производную функции  $y(x)$  в точке  $x_2 = -0.76$ :

$$y'_2 = y'(-0.76) \approx L'_2(-0.76) = 2.304155844$$

$$y''_2 = y''(-0.76) \approx L''_2(-0.76) = -8.805194780$$

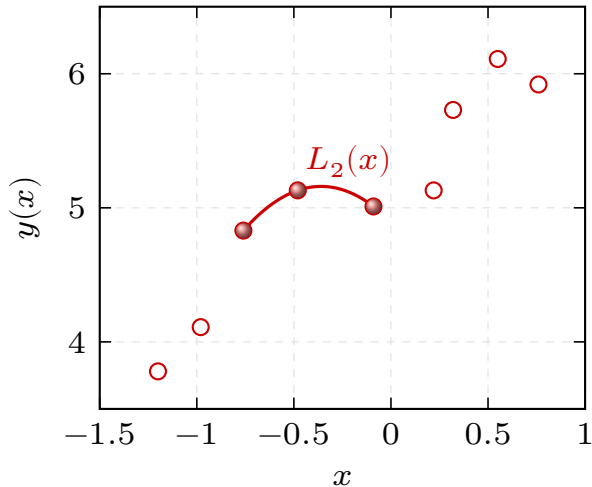
4) Аппроксимация функции  $y(x)$  в узлах  $\{x_2, x_3, x_4\}$  полиномом Лагранжа вто-

рого порядка  $L_2(x)$ , используя данные таблицы 1:

$$\begin{aligned}
 L_2(x) = & \frac{(x - (-0.48))(x - (-0.09))}{(-0.76 - (-0.48))(-0.76 - (-0.09))} \cdot 4.83 + \\
 & + \frac{(x - (-0.76))(x - (-0.09))}{(-0.48 - (-0.76))(-0.48 - (-0.09))} \cdot 5.13 + \\
 & + \frac{(x - (-0.76))(x - (-0.48))}{(-0.09 - (-0.76))(-0.09 - (-0.48))} \cdot 5.01
 \end{aligned}$$

Проводя элементарные алгебраические преобразования полином Лагранжа в пределах отрезка  $[x_2, x_4]$  имеет вид:

$$L_2(x) = -2.058389370 \cdot x^2 - 1.480974249 \cdot x + 4.893385272$$



Определим первую и вторую производную функции  $y(x)$  в точке  $x_3 = -0.48$ :

$$y'_3 = y'(x_3) = y'(-0.48) \approx L'_2(-0.48) = 0.495079546$$

$$y''_3 = y''(x_3) = y''(-0.48) \approx L''_2(-0.48) = -4.116778740$$

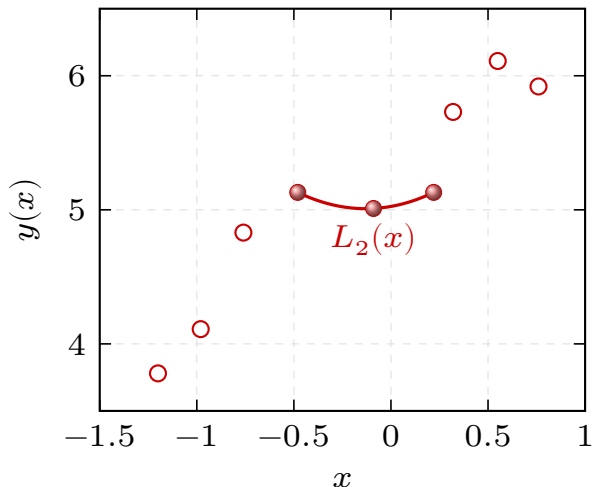
5) Аппроксимация функции  $y(x)$  в узлах  $\{x_3, x_4, x_5\}$  полиномом Лагранжа вто-

рого порядка  $L_2(x)$ , используя данные таблицы 1:

$$\begin{aligned} L_2(x) &= \frac{(x - (-0.09))(x - 0.22)}{(-0.48 - (-0.09))(-0.48 - 0.22)} \cdot 5.13 + \\ &+ \frac{(x - (-0.48))(x - 0.22)}{(-0.09 - (-0.48))(-0.09 - 0.22)} \cdot 5.01 + \\ &+ \frac{(x - (-0.48))(x - (-0.09))}{(0.22 - (-0.48))(0.22 - (-0.09))} \cdot 5.13 \end{aligned}$$

Проводя элементарные алгебраические преобразования полином Лагранжа в пределах отрезка  $[x_3, x_5]$  имеет вид:

$$L_2(x) = 0.9925558300 \cdot x^2 + 0.2580645177 \cdot x + 5.025186105$$



Определим первую и вторую производную функции  $y(x)$  в точке  $x_4 = -0.09$ :

$$y'_4 = y'(-0.09) \approx L'_2(-0.09) = 0.0794044683$$

$$y''_4 = y''(-0.09) \approx L''_2(-0.09) = 1.985111660$$

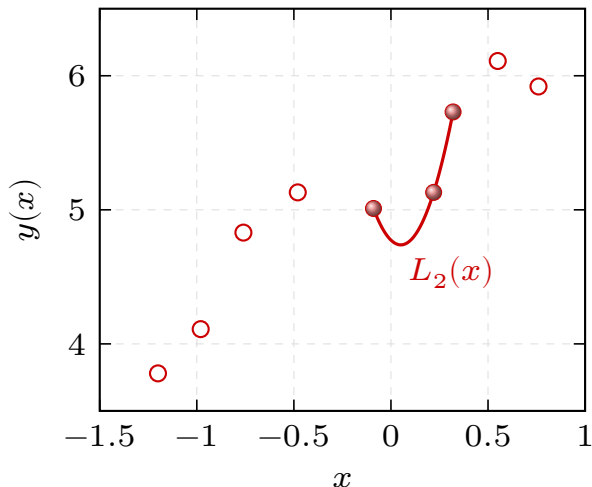
- 6) Аппроксимация функции  $y(x)$  в узлах  $\{x_4, x_5, x_6\}$  полиномом Лагранжа вто-

рого порядка  $L_2(x)$ , используя данные таблицы 1:

$$\begin{aligned}
 L_2(x) = & \frac{(x - 0.22)(x - 0.32)}{(-0.09 - 0.22)(-0.09 - 0.32)} \cdot 5.01 + \\
 & + \frac{(x - (-0.09))(x - 0.32)}{(0.22 - (-0.09))(0.22 - 0.32)} \cdot 5.13 + \\
 & + \frac{(x - (-0.09))(x - 0.22)}{(0.32 - (-0.09))(0.32 - 0.22)} \cdot 5.73
 \end{aligned}$$

Проводя элементарные алгебраические преобразования полином Лагранжа в пределах отрезка  $[x_4, x_6]$  имеет вид:

$$L_2(x) = 13.69000778 \cdot x^2 - 1.392604236 \cdot x + 4.773776556$$



Определим первую и вторую производную функции  $y(x)$  в точке  $x_5 = 0.22$ :

$$y'_5 = y'(x_5) = y'(0.22) \approx L'_2(0.22) = 4.630999187$$

$$y''_5 = y''(x_5) = y''(0.22) \approx L''_2(0.22) = 27.38001556$$

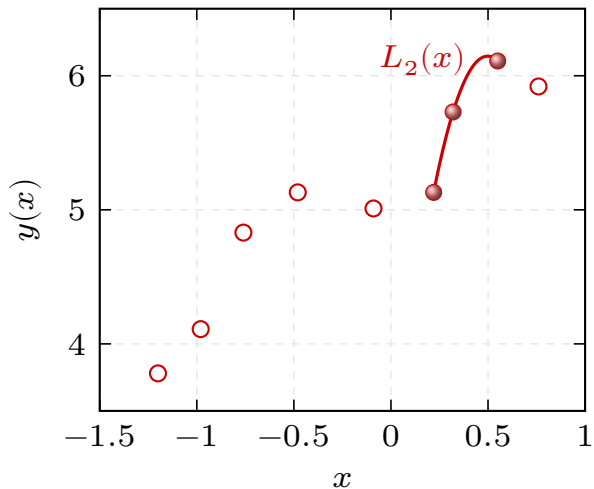
7) Аппроксимация функции  $y(x)$  в узлах  $\{x_5, x_6, x_7\}$  полиномом Лагранжа вто-

рого порядка  $L_2(x)$ , используя данные таблицы 1:

$$\begin{aligned}
 L_2(x) &= \frac{(x - 0.32)(x - 0.55)}{(0.22 - 0.32)(0.22 - 0.55)} \cdot 5.13 + \\
 &+ \frac{(x - 0.22)(x - 0.55)}{(0.32 - 0.22)(0.32 - 0.55)} \cdot 5.73 + \\
 &+ \frac{(x - 0.22)(x - 0.32)}{(0.55 - 0.22)(0.55 - 0.32)} \cdot 6.11
 \end{aligned}$$

Проводя элементарные алгебраические преобразования полином Лагранжа в пределах отрезка  $[x_5, x_7]$  имеет вид:

$$L_2(x) = -13.17523062 \cdot x^2 + 13.11462456 \cdot x + 2.882463758$$



Определим первую и вторую производную функции  $y(x)$  в точке  $x_6 = 0.32$ :

$$\begin{aligned}
 y'_6 &= y'(x_6) = y'(0.32) \approx L'_2(0.32) = 4.682476963 \\
 y''_6 &= y''(x_6) = y''(0.32) \approx L''_2(0.32) = -26.35046124
 \end{aligned}$$

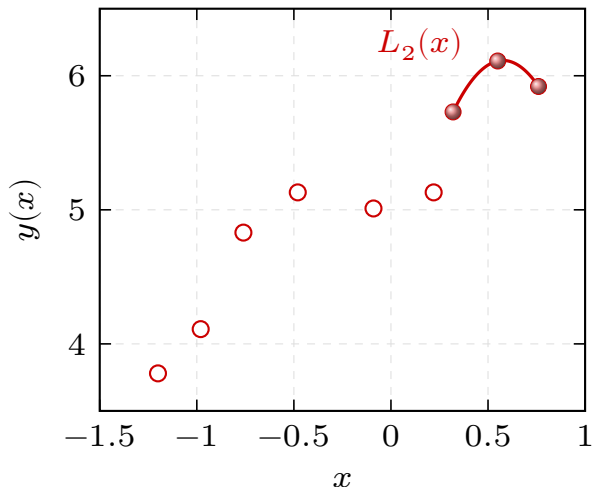
8) Аппроксимация функции  $y(x)$  в узлах  $\{x_6, x_7, x_8\}$  полиномом Лагранжа вто-

рого порядка  $L_2(x)$ , используя данные таблицы 1:

$$\begin{aligned} L_2(x) &= \frac{(x - 0.55)(x - 0.76)}{(0.32 - 0.55)(0.32 - 0.76)} \cdot 5.73 + \\ &+ \frac{(x - 0.32)(x - 0.76)}{(0.55 - 0.32)(0.55 - 0.76)} \cdot 6.11 + \\ &+ \frac{(x - 0.32)(x - 0.55)}{(0.76 - 0.32)(0.76 - 0.55)} \cdot 5.92 \end{aligned}$$

Проводя элементарные алгебраические преобразования полином Лагранжа в пределах отрезка  $[x_6, x_8]$  имеет вид:

$$L_2(x) = -5.811217790 \cdot x^2 + 6.707933391 \cdot x + 4.178530017$$



Определим первую и вторую производную функции  $y(x)$  в точке  $x_7 = 0.55$ :

$$\begin{aligned} y'_7 &= y'(x_7) = y'(0.55) \approx L'_2(0.55) = 0.315593822 \\ y''_7 &= y''(x_7) = y''(0.55) \approx L''_2(0.55) = -11.62243558 \end{aligned}$$

- 9) Таким образом, определены значения первой  $y'(x)$  и второй  $y''(x)$  производной функции  $y(x)$  в каждом внутреннем узле сетки:

Таблица 2 – Значения первой и второй производных функции  $y(x)$  во внутренних узлах сетки  $\{x_i\}$

$i$	1	2	3	4	5	6	7
$x_i$	-0.98	-0.76	-0.48	-0.09	0.22	0.32	0.55
$y'_i$	2.39	2.30	0.50	0.08	4.63	4.68	0.32
$y''_i$	8.06	-8.81	-4.12	1.99	27.38	-26.35	-11.62

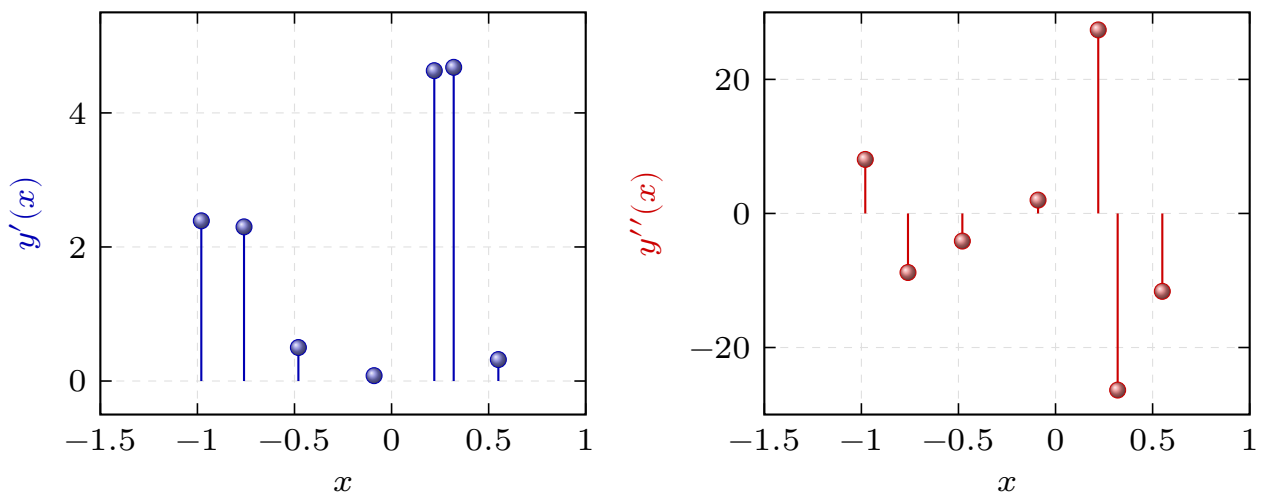


Рисунок 1 – Графики первой  $y'(x)$  и второй  $y''(x)$  производной от функции  $y(x)$ , заданной таблично

## 2 Задача Коши для систем обыкновенных дифференциальных уравнений

Задача Коши обычно возникает при анализе процессов, определяемых дифференциальным законом эволюции и начальным состоянием (начальным условием).

Рассмотрим задачу Коши для системы обыкновенных дифференциальных уравнений вида:

$$\frac{d\vec{u}}{dt} = \vec{f}(t, \vec{u}), \quad \vec{u}(0) = \vec{\hat{u}}, \quad (1)$$

где  $\vec{u}(t)$  – неизвестные функции, которые подлежат определению;  $\vec{f}(t, \vec{u})$  – известные функции, зависящие от времени и неизвестных функций  $\vec{u}$ ;  $\vec{\hat{u}}$  – начальные условия, т.е. значения неизвестных функций в начальный момент времени ( $t = 0$ ).

Запишем в развернутом виде систему (1) линейных обыкновенных дифференциальных уравнений первого порядка и начальные условия:

$$\begin{cases} \frac{du_1}{dt} = f_1(t, u_1, u_2, \dots, u_n), & u_1(0) = \dot{u}_1 \\ \frac{du_2}{dt} = f_2(t, u_1, u_2, \dots, u_n), & u_2(0) = \dot{u}_2 \\ \dots = \dots \dots \dots = \dots \\ \frac{du_n}{dt} = f_n(t, u_1, u_2, \dots, u_n), & u_n(0) = \dot{u}_n \end{cases}, \quad (2)$$

где  $n$  – количество дифференциальных уравнений в системе (1).

Будем полагать, что решение задачи Коши (2) существует, единствено и обладает необходимыми свойствами гладкости.

### 2.1 Метод Эйлера решения задачи Коши

Введем по переменной  $t$  сетку, т.е. будем рассматривать множество моментов времени:

$$\{t_j\}, \quad j = 1, 2, \dots, N,$$

где  $j$  – номер временного интервала;  $\Delta t_{j+1} = (t_{j+1} - t_j)$  – шаг сетки, т.е. временной интервал между двумя последовательными моментами времени;  $N$  –

количество узлов временной сетки.

Основная идея метода Эйлера заключается в предположении, о том что неизвестные функции  $\vec{u}(t)$  изменяются линейно в интервале  $[t_j, t_{j+1}]$  между двумя соседними узлами временной сетки и аппроксимация неизвестных функций проводится полиномом первого порядка  $\vec{L}_1(t)$ :

$$\vec{u} \approx \vec{L}_1(t) = \frac{t - t_{j+1}}{t_j - t_{j+1}} \cdot \vec{u}(t_j) + \frac{t - t_j}{t_{j+1} - t_j} \cdot \vec{u}(t_{j+1}).$$

Производная от неизвестной функции приближенно аппроксимируется выражением вида:

$$\frac{d\vec{u}}{dt} \approx \vec{L}'_1(t) = \frac{\vec{u}(t_{j+1}) - \vec{u}(t_j)}{t_{j+1} - t_j}, \quad (3)$$

где  $t_{j+1}$  и  $t_j$  – два последовательных момента времени.

Тогда систему дифференциальных уравнений первого порядка (1) приближенно можно записать в виде:

$$\frac{\vec{u}(t_{j+1}) - \vec{u}(t_j)}{\Delta t_{j+1}} \approx \vec{f}(t_j, \vec{u}(t_j)) \quad (4)$$

Относительно неизвестных  $\vec{u}(t_{j+1})$  это система линейных алгебраических уравнений и решение системы (4) находится явным образом по рекуррентным формулам:

$$\vec{u}(t_{j+1}) = \vec{u}(t_j) + \Delta t_{j+1} \cdot \vec{f}(t_j, \vec{u}(t_j)), \quad \vec{u}(0) = \vec{u}. \quad (5)$$

Метод Эйлера является простейшим численным методом решения задачи Коши. К недостаткам метода можно отнести малую точность и систематическое накопление ошибок.

Для простоты рассмотрим только одно дифференциальное уравнение с единственным начальным условием:

$$y(t_{j+1}) = y(t_j) + \Delta t_{j+1} \cdot f(t_j, y(t_j)), \quad y(0) = \dot{y}$$

На рисунке 2 представлена графическая иллюстрация метода Эйлера численного решения задачи Коши для одного дифференциального уравнения первого порядка.

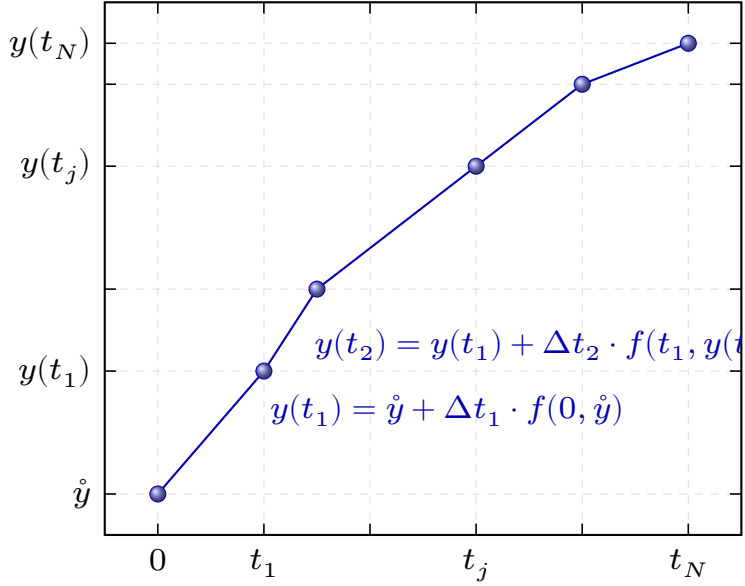


Рисунок 2 – Ломаная Эйлера

## 2.2 Оценка погрешности решения задачи Коши

Интегрирование системы дифференциальных уравнений (1) по временной переменной  $t$  с учетом начальных условий:

$$\vec{v}(t) = \vec{u}(0) + \int_0^t \vec{f}(\xi, \vec{v}) d\xi. \quad (6)$$

Уравнение (6) является интегральным уравнением для неизвестной функции  $\vec{v}(t)$ , а его решение эквивалентно решению задачи Коши (1), что можно проверить прямой подстановкой (6) в (1).

На временной сетке  $\{t_j\}$  интеграл в правой части равенства (6) приближенно вычисляется по *формуле трапеций*:

$$\int_0^{t_{j+1}} \vec{f}(\xi, \vec{v}) d\xi \approx \sum_{k=0}^j \frac{\vec{f}(t_{k+1}, \vec{v}(t_{k+1})) + \vec{f}(t_k, \vec{v}(t_k))}{2} \cdot (t_{k+1} - t_k). \quad (7)$$

Воспользовавшись (7), выражением для решения интегрального уравнения (6) можно записать в рекуррентной форме:

$$\vec{v}(t_{j+1}) = \vec{v}(t_j) + \frac{\vec{f}(t_{j+1}, \vec{v}(t_{j+1})) + \vec{f}(t_j, \vec{v}(t_j))}{2} \cdot \Delta t_{j+1}. \quad (8)$$

Для определения приближенного значения решения интегрального урав-

нения могут быть использованы значения неизвестных функций  $\vec{u}(t_j)$ , рассчитанные по методу Эйлера на  $j$ -ом временном слое:

$$\vec{v}(t_{j+1}) \approx \vec{v}(t_j) + \frac{\vec{f}(t_j, \vec{u}(t_j)) + \vec{f}(t_{j+1}, \vec{u}(t_{j+1}))}{2} \cdot \Delta t_{j+1}. \quad (9)$$

В качестве предельной абсолютной погрешности приближенного решения  $\vec{u}(t_j)$  задачи Коши (1) можно принять величину:

$$\varepsilon_i(t_j) = |v_i(t_j) - u_i(t_j)|, \quad i = 1, 2, \dots n \quad (10)$$

### 2.3 Численное решение задачи Коши методом Эйлера

Применяя метод Эйлера, найдем решение задачи Коши системы дифференциальных уравнений:

$$\begin{cases} \frac{du_1}{dt} = 0, 2t + u_2, & u_1(0) = 1 \\ \frac{du_2}{dt} = -\frac{u_1}{2}, & u_2(0) = 0 \end{cases}, \quad (11)$$

в пределах отрезка  $t \in [0, 10]$  на равномерной сетке с количеством временных интервалов  $N = 5$ .

Введем обозначения

$$\begin{cases} f_1(t) = 0, 2 \cdot t + u_2(t) \\ f_2(t) = -\frac{u_1(t)}{2} \end{cases}.$$

где  $f_1$  и  $f_2$  – функции, стоящие в правых частях дифференциальных уравнений системы (11):

Рекуррентные соотношения (??) для решения задачи Коши (11) методом Эйлера:

$$\begin{cases} u_1(t_{j+1}) = u_1(t_j) + \tau \cdot f_1(t_j), & u_1(0) = 1 \\ u_2(t_{j+1}) = u_2(t_j) + \tau \cdot f_2(t_j), & u_2(0) = 0 \end{cases}, \quad (12)$$

Решение системы интегральных уравнений (6) определяется рекуррентны-

ми соотношениями:

$$\begin{cases} \hat{u}_1(t_{j+1}) = \hat{u}_1(t_j) + \tau \cdot \frac{f_1(t_j) + f_1(t_{j+1})}{2}, & \hat{u}_1(0) = 1 \\ \hat{u}_2(t_{j+1}) = \hat{u}_2(t_j) + \tau \cdot \frac{f_2(t_j) + f_2(t_{j+1})}{2}, & \hat{u}_2(0) = 0 \end{cases}. \quad (13)$$

Определим временной шаг метода Эйлера, зная длину временного отрезка (“время наблюдения”) и количество интервалов:

$$\tau = \frac{t_{\max} - t_0}{N} = \frac{10 - 0}{5} = 2,$$

где  $t_0 = 0$  – начальный момент времени;  $t_{\max}$  – максимальное время (“время наблюдения”).

Введем по переменной  $t$  равномерную сетку с шагом  $\tau = 2$ :

$$\{t_j\} = \{0, 2, 4, 6, 8, 10\}$$

Последовательно определяем приближенное решение задачи Коши (11) методом Эйлера, используя рекуррентные соотношения (12).

1) Определим значения неизвестных функций  $u_1$  и  $u_2$  в точке  $t_1 = 2$ :

$$f_1(0) = 0, 2 \cdot 0 + u_2(0) = 0, 2 \cdot 0 + 0 = 0$$

$$f_2(0) = -\frac{u_1(0)}{2} = -\frac{1}{2} = -0,5$$

$$\begin{cases} u_1(2) = u_1(0) + 2 \cdot f_1(0) = 1 + 2 \cdot 0 = 1 \\ u_2(2) = u_2(0) + 2 \cdot f_2(0) = 0 + 2 \cdot (-0,5) = -1 \end{cases}.$$

2) Определим значения неизвестных функций  $u_1$  и  $u_2$  в точке  $t_2 = 4$ :

$$f_1(2) = 0, 2 \cdot 2 + u_2(2) = 0, 2 \cdot 2 + (-1) = -0,6$$

$$f_2(2) = -\frac{u_1(2)}{2} = -\frac{1}{2} = -0,5$$

$$\begin{cases} u_1(4) = u_1(2) + 2 \cdot f_1(2) = 1 + 2 \cdot (-0,6) = -0,2 \\ u_2(4) = u_2(2) + 2 \cdot f_2(2) = -1 + 2 \cdot (-0,5) = -2 \end{cases} .$$

3) Определим значения неизвестных функций  $u_1$  и  $u_2$  в точке  $t_3 = 6$ :

$$f_1(4) = 0,2 \cdot 4 + u_2(4) = 0,2 \cdot 4 + (-2) = -1,2$$

$$f_2(4) = -\frac{u_1(4)}{2} = -\frac{-0,2}{2} = 0,1$$

$$\begin{cases} u_1(6) = u_1(4) + 2 \cdot f_1(4) = -0,2 + 2 \cdot (-1,2) = -2,6 \\ u_2(6) = u_2(4) + 2 \cdot f_2(4) = -2 + 2 \cdot (0,1) = -1,8 \end{cases} .$$

4) Определим значения неизвестных функций  $u_1$  и  $u_2$  в точке  $t_4 = 8$ :

$$f_1(6) = 0,2 \cdot 6 + u_2(6) = 0,2 \cdot 6 + (-1,8) = -0,6$$

$$f_2(6) = -\frac{u_1(6)}{2} = -\frac{-0,6}{2} = 0,3$$

$$\begin{cases} u_1(8) = u_1(6) + 2 \cdot f_1(4) = -0,6 + 2 \cdot (-1,2) = -3,8 \\ u_2(8) = u_2(6) + 2 \cdot f_2(6) = -1,8 + 2 \cdot (0,3) = 0,8 \end{cases} .$$

5) Определим значения неизвестных функций  $u_1$  и  $u_2$  в точке  $t_5 = 10$ :

$$f_1(8) = 0,2 \cdot 8 + u_2(8) = 0,2 \cdot 8 + 0,8 = 2,4$$

$$f_2(8) = -\frac{u_1(8)}{2} = -\frac{-3,8}{2} = 1,9$$

$$\begin{cases} u_1(10) = u_1(8) + 2 \cdot f_1(4) = 2,4 + 2 \cdot (-1,2) = 0 \\ u_2(10) = u_2(8) + 2 \cdot f_2(8) = 0,8 + 2 \cdot (1,9) = 4,6 \end{cases} .$$

На рисунке 3 представлено решение задачи Коши системы дифференциальных уравнений (11).

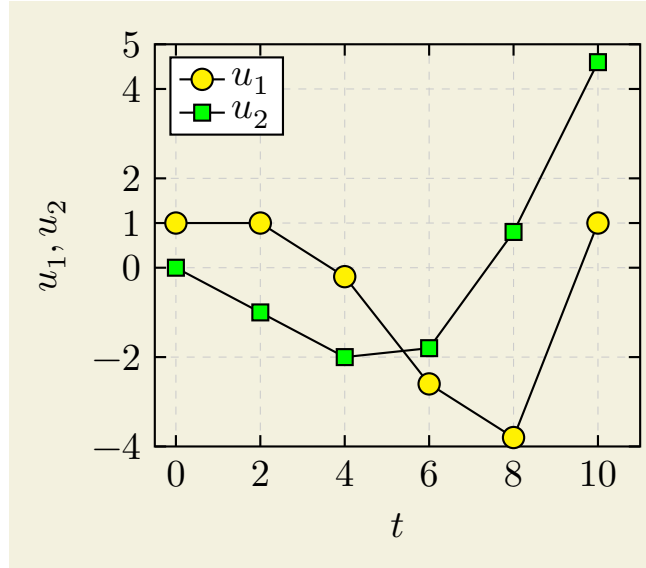


Рисунок 3 – Зависимость неизвестных функций от времени

Последовательно определяем приближенное решение интегрального уравнения (11), используя рекуррентные соотношения (13).

- 1) Определим значения неизвестных функций  $\hat{u}_1$  и  $\hat{u}_2$  в точке  $t_1 = 2$ :

$$\begin{cases} \hat{u}_1(2) = \hat{u}_1(0) + \tau \cdot \frac{f_1(0) + f_1(2)}{2} = 1 + 2 \cdot \frac{0 + (-0,6)}{2} = 0,4 \\ \hat{u}_2(2) = \hat{u}_2(0) + \tau \cdot \frac{f_2(0) + f_2(2)}{2} = 0 + 2 \cdot \frac{-0,5 + (-0,5)}{2} = -1 \end{cases}$$

- 2) Определим значения неизвестных функций  $\hat{u}_1$  и  $\hat{u}_2$  в точке  $t_2 = 4$ :

$$\begin{cases} \hat{u}_1(4) = \hat{u}_1(2) + \tau \cdot \frac{f_1(2) + f_1(4)}{2} = 0,4 + 2 \cdot \frac{(-0,6) + (-1,2)}{2} = -2,4 \\ \hat{u}_2(4) = \hat{u}_2(2) + \tau \cdot \frac{f_2(2) + f_2(4)}{2} = -1 + 2 \cdot \frac{-0,5 + 0,1}{2} = -1,4 \end{cases}$$

- 3) Определим значения неизвестных функций  $\hat{u}_1$  и  $\hat{u}_2$  в точке  $t_3 = 6$ :

$$\begin{cases} \hat{u}_1(6) = \hat{u}_1(4) + \tau \cdot \frac{f_1(4) + f_1(6)}{2} = -2,4 + 2 \cdot \frac{-1,2 + (-0,6)}{2} = -4,2 \\ \hat{u}_2(6) = \hat{u}_2(4) + \tau \cdot \frac{f_2(4) + f_2(6)}{2} = -1,4 + 2 \cdot \frac{0,1 + 1,3}{2} = 0 \end{cases}$$

4) Определим значения неизвестных функций  $\hat{u}_1$  и  $\hat{u}_2$  в точке  $t_4 = 8$ :

$$\begin{cases} \hat{u}_1(8) = \hat{u}_1(6) + \tau \cdot \frac{f_1(6) + f_1(8)}{2} = -4,2 + 2 \cdot \frac{-0,6 + 2,4}{2} = -2,4 \\ \hat{u}_2(8) = \hat{u}_2(6) + \tau \cdot \frac{f_2(6) + f_2(8)}{2} = 0 + 2 \cdot \frac{1,3 + 1,9}{2} = 3,2 \end{cases} .$$

5) Определим значения неизвестных функций  $\hat{u}_1$  и  $\hat{u}_2$  в точке  $t_5 = 10$ :

$$f_1(10) = 0,2 \cdot 10 + u_2(10) = 0,2 \cdot 8 + 4,6 = 6,2$$

$$f_2(10) = -\frac{u_1(10)}{2} = -\frac{1}{2} = -0,5$$

$$\begin{cases} \hat{u}_1(10) = \hat{u}_1(8) + \tau \cdot \frac{f_1(8) + f_1(10)}{2} = -2,4 + 2 \cdot \frac{2,4 + 6,2}{2} = 6,2 \\ \hat{u}_2(10) = \hat{u}_2(8) + \tau \cdot \frac{f_2(8) + f_2(10)}{2} = 3,2 + 2 \cdot \frac{1,9 + (-0,5)}{2} = 4,6 \end{cases} .$$

На рисунке 4 представлены решения задачи Коши (1) и интегрального уравнения (6), рассчитанные в различные моменты времени.

В таблице 3 и на рисунке 5 представлены значения предельной абсолютной погрешности приближенного решения задачи Коши для различных моментов времени.

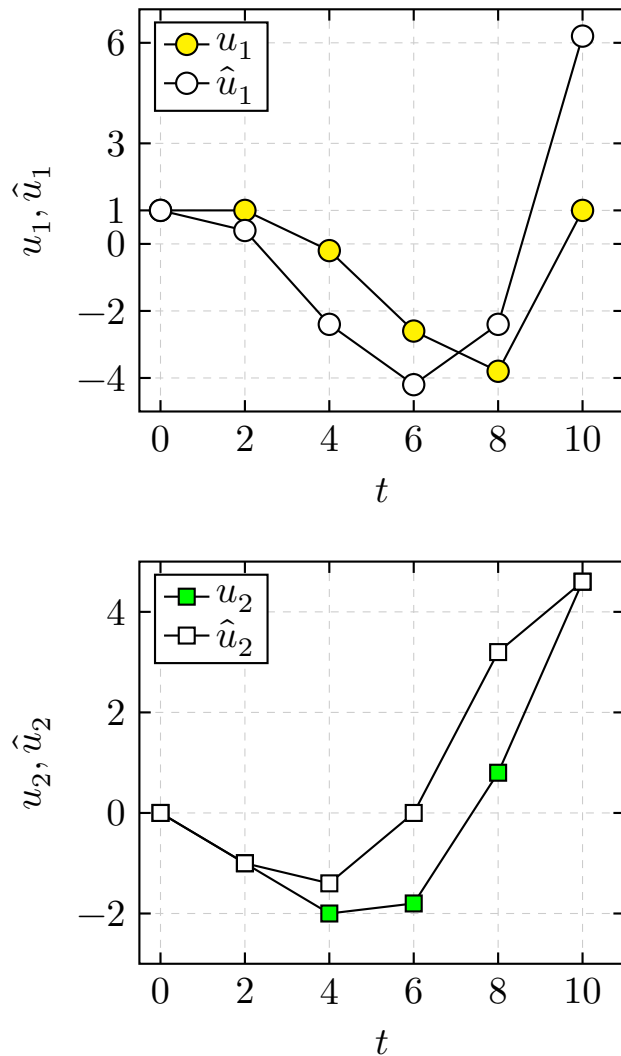


Рисунок 4 – Приближенное решение задачи Коши и соответствующего интегрального уравнения

Из рисунка 5 видно, что максимальная предельная абсолютная погрешность для  $u_1(t)$  составляет  $\epsilon_1 = 5, 1$ , а для функции  $u_2(t) - \epsilon_2 = 2, 4$ .

Таблица 3 – Предельная абсолютная погрешность приближенного решения задачи Коши (11)

[1pt] Время	0	2	4	6	8	10
<b>Задача Коши</b>						
$u_1$	1	1	-0,2	-2,6	-3,8	1
$u_2$	0	-1	-2	-1,8	0,8	4,6
<b>Интегральное уравнение</b>						
$\hat{u}_1$	1	0,4	-2,4	-4,2	-2,4	6,2
$\hat{u}_2$	0	-1	-1,4	0	3,2	4,6
<b>Абсолютная погрешность <math>\epsilon =  \hat{u} - u </math></b>						
$\epsilon_1$	0	0,6	2,2	1,6	1,4	5,2
$\epsilon_2$	0	0	0,6	1,8	2,4	0
[1pt]						

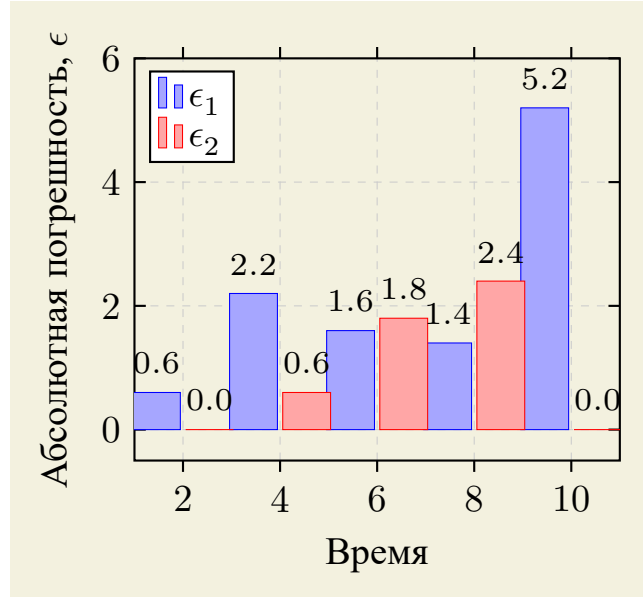


Рисунок 5 – Предельная абсолютная погрешность приближенного решения задачи Коши (11)

## ЗАКЛЮЧЕНИЕ

В работе рассмотрен метод Эйлера численного решения задачи Коши для системы обыкновенных дифференциальных уравнений первого порядка. Для заданной системы дифференциальный уравнений первого порядка построены рекуррентные соотношения для неизвестных функций  $u_1(t)$  и  $u_2(t)$ , которые позволяют последовательно определить их значения в узлах временной сетке  $\omega_\tau$ .

На основе построенных рекуррентных соотношений найдено численное решение задачи Коши в узлах равномерной сетке  $\omega_\tau = \{0, 2, 4, 6, 8, 10\}$ . Построены графики функций  $u_1(t)$  и  $u_2(t)$  на основании вычисленных значений неизвестных функций в различных узлах временной сетки  $\omega_\tau$ .

Определена предельная абсолютная погрешность приближенного решения задачи Коши в пределах всего заданного временного интервала. Установлено, что максимальная предельная абсолютная погрешность для  $u_1(t)$  составляет  $\epsilon_1 = 5, 1$ , а для функции  $u_2(t) - \epsilon_2 = 2, 4$ .

Приобретен практический навык применения численных методов решения задачи Коши для систем обыкновенных дифференциальных уравнений первого порядка.

## **СПИСОК ИСПОЛЬЗОВАННЫХ ИСТОЧНИКОВ**

- 1 Самарский А. А. Введение в численные методы. – Лань, 2009. –288 с.
- 2 Самарский А. А., Гулин А. В. Численные методы: учебное пособие для вузов // М.: Наука. Гл. ред. физ-мат. лит. 1989. –432 с.
- 3 Самарский А. А. и др. Задачи и упражнения по численным методам: Учебное пособие // М.: Эдиториал УРСС, 2000. –208 с.
- 4 Калиткин Н. Н. Численные методы. 2 изд. –СПб.: БХВ-Петербург, 2011. –592 с.
- 5 Калиткин Н. Н. Численные методы: Учебное пособие. – Наука. Гл. ред. физ.-мат. лит., 1978. –511 с.
- 6 Демидович, Б.П. Численные методы анализа: приближение функций, дифференциальные и интегральные уравнения / Б.П. Демидович, И.А. Марон, Э.З. Шувалова ; под ред. Б.П. Демидович. – Изд. 3-е, перераб. – Москва : Главная редакция физико-математической литературы, 1967. –368 с.